

# Starkniederschlagshöhen und -spenden gemäß KOSTRA-DWD-2020

## Rasterfeld 117116

(Zeile 117, Spalte 116)

### Regenspende und Bemessungsniederschlagswerte in Abhängigkeit von Wiederkehrzeit T und Dauerstufe D

| Dauerstufe D |     | Wiederkehrzeit T |            |      |            |      |            |      |            |       |            |       |            |       |            |       |            |       |            |
|--------------|-----|------------------|------------|------|------------|------|------------|------|------------|-------|------------|-------|------------|-------|------------|-------|------------|-------|------------|
|              |     | 1 a              |            | 2 a  |            | 3 a  |            | 5 a  |            | 10 a  |            | 20 a  |            | 30 a  |            | 50 a  |            | 100 a |            |
| min          | Std | mm               | l / (s ha) | mm   | l / (s ha) | mm   | l / (s ha) | mm   | l / (s ha) | mm    | l / (s ha) | mm    | l / (s ha) | mm    | l / (s ha) | mm    | l / (s ha) | mm    | l / (s ha) |
| 5            |     | 7,3              | 243,3      | 9,1  | 303,3      | 10,1 | 336,7      | 11,5 | 383,3      | 13,6  | 453,3      | 15,6  | 520,0      | 17,0  | 566,7      | 18,8  | 626,7      | 21,4  | 713,3      |
| 10           |     | 9,1              | 151,7      | 11,3 | 188,3      | 12,6 | 210,0      | 14,4 | 240,0      | 16,9  | 281,7      | 19,5  | 325,0      | 21,2  | 353,3      | 23,5  | 391,7      | 26,7  | 445,0      |
| 15           |     | 10,3             | 114,4      | 12,7 | 141,1      | 14,2 | 157,8      | 16,2 | 180,0      | 19,0  | 211,1      | 21,9  | 243,3      | 23,9  | 265,6      | 26,4  | 293,3      | 30,0  | 333,3      |
| 20           |     | 11,1             | 92,5       | 13,8 | 115,0      | 15,4 | 128,3      | 17,5 | 145,8      | 20,6  | 171,7      | 23,8  | 198,3      | 25,9  | 215,8      | 28,6  | 238,3      | 32,5  | 270,8      |
| 30           |     | 12,4             | 68,9       | 15,4 | 85,6       | 17,2 | 95,6       | 19,6 | 108,9      | 23,0  | 127,8      | 26,5  | 147,2      | 28,9  | 160,6      | 31,9  | 177,2      | 36,3  | 201,7      |
| 45           |     | 13,8             | 51,1       | 17,1 | 63,3       | 19,1 | 70,7       | 21,8 | 80,7       | 25,6  | 94,8       | 29,5  | 109,3      | 32,1  | 118,9      | 35,5  | 131,5      | 40,3  | 149,3      |
| 60           | 1   | 14,9             | 41,4       | 18,4 | 51,1       | 20,6 | 57,2       | 23,5 | 65,3       | 27,6  | 76,7       | 31,8  | 88,3       | 34,6  | 96,1       | 38,3  | 106,4      | 43,5  | 120,8      |
| 90           | 1,5 | 16,5             | 30,6       | 20,4 | 37,8       | 22,9 | 42,4       | 26,0 | 48,1       | 30,6  | 56,7       | 35,3  | 65,4       | 38,4  | 71,1       | 42,5  | 78,7       | 48,3  | 89,4       |
| 120          | 2   | 17,8             | 24,7       | 22,0 | 30,6       | 24,6 | 34,2       | 28,0 | 38,9       | 32,9  | 45,7       | 38,0  | 52,8       | 41,3  | 57,4       | 45,7  | 63,5       | 51,9  | 72,1       |
| 180          | 3   | 19,7             | 18,2       | 24,4 | 22,6       | 27,2 | 25,2       | 31,0 | 28,7       | 36,5  | 33,8       | 42,1  | 39,0       | 45,8  | 42,4       | 50,6  | 46,9       | 57,5  | 53,2       |
| 240          | 4   | 21,2             | 14,7       | 26,2 | 18,2       | 29,3 | 20,3       | 33,4 | 23,2       | 39,2  | 27,2       | 45,3  | 31,5       | 49,2  | 34,2       | 54,4  | 37,8       | 61,9  | 43,0       |
| 360          | 6   | 23,5             | 10,9       | 29,0 | 13,4       | 32,4 | 15,0       | 37,0 | 17,1       | 43,4  | 20,1       | 50,1  | 23,2       | 54,5  | 25,2       | 60,3  | 27,9       | 68,5  | 31,7       |
| 540          | 9   | 26,0             | 8,0        | 32,1 | 9,9        | 35,9 | 11,1       | 40,9 | 12,6       | 48,1  | 14,8       | 55,5  | 17,1       | 60,4  | 18,6       | 66,7  | 20,6       | 75,8  | 23,4       |
| 720          | 12  | 27,9             | 6,5        | 34,5 | 8,0        | 38,6 | 8,9        | 44,0 | 10,2       | 51,7  | 12,0       | 59,7  | 13,8       | 64,9  | 15,0       | 71,7  | 16,6       | 81,5  | 18,9       |
| 1080         | 18  | 30,9             | 4,8        | 38,2 | 5,9        | 42,7 | 6,6        | 48,7 | 7,5        | 57,2  | 8,8        | 66,0  | 10,2       | 71,8  | 11,1       | 79,4  | 12,3       | 90,2  | 13,9       |
| 1440         | 24  | 33,2             | 3,8        | 41,1 | 4,8        | 45,9 | 5,3        | 52,3 | 6,1        | 61,5  | 7,1        | 71,0  | 8,2        | 77,2  | 8,9        | 85,3  | 9,9        | 96,9  | 11,2       |
| 2880         | 48  | 39,5             | 2,3        | 48,8 | 2,8        | 54,6 | 3,2        | 62,2 | 3,6        | 73,1  | 4,2        | 84,4  | 4,9        | 91,8  | 5,3        | 101,4 | 5,9        | 115,3 | 6,7        |
| 4320         | 72  | 43,7             | 1,7        | 54,0 | 2,1        | 60,4 | 2,3        | 68,8 | 2,7        | 80,9  | 3,1        | 93,4  | 3,6        | 101,5 | 3,9        | 112,2 | 4,3        | 127,6 | 4,9        |
| 5760         | 96  | 47,0             | 1,4        | 58,1 | 1,7        | 64,9 | 1,9        | 73,9 | 2,1        | 86,9  | 2,5        | 100,3 | 2,9        | 109,1 | 3,2        | 120,6 | 3,5        | 137,1 | 4,0        |
| 7200         | 120 | 49,7             | 1,2        | 61,4 | 1,4        | 68,6 | 1,6        | 78,2 | 1,8        | 91,9  | 2,1        | 106,1 | 2,5        | 115,4 | 2,7        | 127,5 | 3,0        | 144,9 | 3,4        |
| 8640         | 144 | 52,0             | 1,0        | 64,2 | 1,2        | 71,8 | 1,4        | 81,8 | 1,6        | 96,2  | 1,9        | 111,0 | 2,1        | 120,7 | 2,3        | 133,5 | 2,6        | 151,7 | 2,9        |
| 10080        | 168 | 54,0             | 0,9        | 66,8 | 1,1        | 74,7 | 1,2        | 85,0 | 1,4        | 100,0 | 1,7        | 115,4 | 1,9        | 125,5 | 2,1        | 138,7 | 2,3        | 157,6 | 2,6        |

# Starkniederschlagshöhen und -spenden gemäß KOSTRA-DWD-2020

## Rasterfeld 117116

(Zeile 117, Spalte 116)

### Örtliche Unsicherheiten in Abhängigkeit von Wiederkehrzeit T und Dauerstufe D

| Dauerstufe D |     | Wiederkehrzeit T |     |     |     |      |      |      |      |       |
|--------------|-----|------------------|-----|-----|-----|------|------|------|------|-------|
|              |     | 1 a              | 2 a | 3 a | 5 a | 10 a | 20 a | 30 a | 50 a | 100 a |
| min          | Std | ± %              | ± % | ± % | ± % | ± %  | ± %  | ± %  | ± %  | ± %   |
| 5            |     | 11               | 12  | 12  | 13  | 14   | 15   | 15   | 16   | 16    |
| 10           |     | 13               | 15  | 16  | 17  | 18   | 19   | 20   | 20   | 21    |
| 15           |     | 15               | 17  | 18  | 19  | 20   | 21   | 22   | 22   | 23    |
| 20           |     | 16               | 18  | 19  | 20  | 21   | 22   | 23   | 23   | 24    |
| 30           |     | 16               | 19  | 20  | 21  | 22   | 23   | 23   | 24   | 25    |
| 45           |     | 16               | 19  | 20  | 21  | 22   | 23   | 24   | 24   | 25    |
| 60           | 1   | 16               | 18  | 19  | 21  | 22   | 23   | 23   | 24   | 25    |
| 90           | 1,5 | 15               | 18  | 19  | 20  | 21   | 22   | 23   | 23   | 24    |
| 120          | 2   | 15               | 17  | 18  | 19  | 20   | 21   | 22   | 23   | 23    |
| 180          | 3   | 14               | 16  | 17  | 18  | 19   | 20   | 21   | 22   | 22    |
| 240          | 4   | 13               | 15  | 16  | 17  | 19   | 20   | 20   | 21   | 21    |
| 360          | 6   | 12               | 14  | 15  | 16  | 18   | 19   | 19   | 20   | 20    |
| 540          | 9   | 11               | 13  | 14  | 15  | 17   | 18   | 18   | 19   | 19    |
| 720          | 12  | 11               | 13  | 14  | 15  | 16   | 17   | 17   | 18   | 19    |
| 1080         | 18  | 11               | 12  | 13  | 14  | 15   | 16   | 16   | 17   | 18    |
| 1440         | 24  | 11               | 12  | 13  | 14  | 15   | 16   | 16   | 16   | 17    |
| 2880         | 48  | 12               | 12  | 13  | 13  | 14   | 15   | 15   | 16   | 16    |
| 4320         | 72  | 13               | 13  | 13  | 14  | 14   | 15   | 15   | 15   | 16    |
| 5760         | 96  | 14               | 14  | 14  | 14  | 15   | 15   | 15   | 16   | 16    |
| 7200         | 120 | 14               | 14  | 14  | 14  | 15   | 15   | 15   | 16   | 16    |
| 8640         | 144 | 15               | 15  | 15  | 15  | 15   | 15   | 16   | 16   | 16    |
| 10080        | 168 | 16               | 15  | 15  | 15  | 15   | 16   | 16   | 16   | 16    |

### Parameter für abweichende T und D

#### Lokationsparameter $\xi$ (Xi)

15,03648044

#### Skalenparameter $\alpha$ (Alpha)

4,93435935

#### Formparameter $\kappa$ (Kappa)

-0,1

#### 1. Koutsoyiannis-Parameter $\theta$ (Theta)

0,01163497

#### 2. Koutsoyiannis-Parameter $\eta$ (Eta)

0,75031183

Parameter für dauerstufenübergreifende Extremwertschätzung nach KOUTSOYIANNIS et al. 1998.

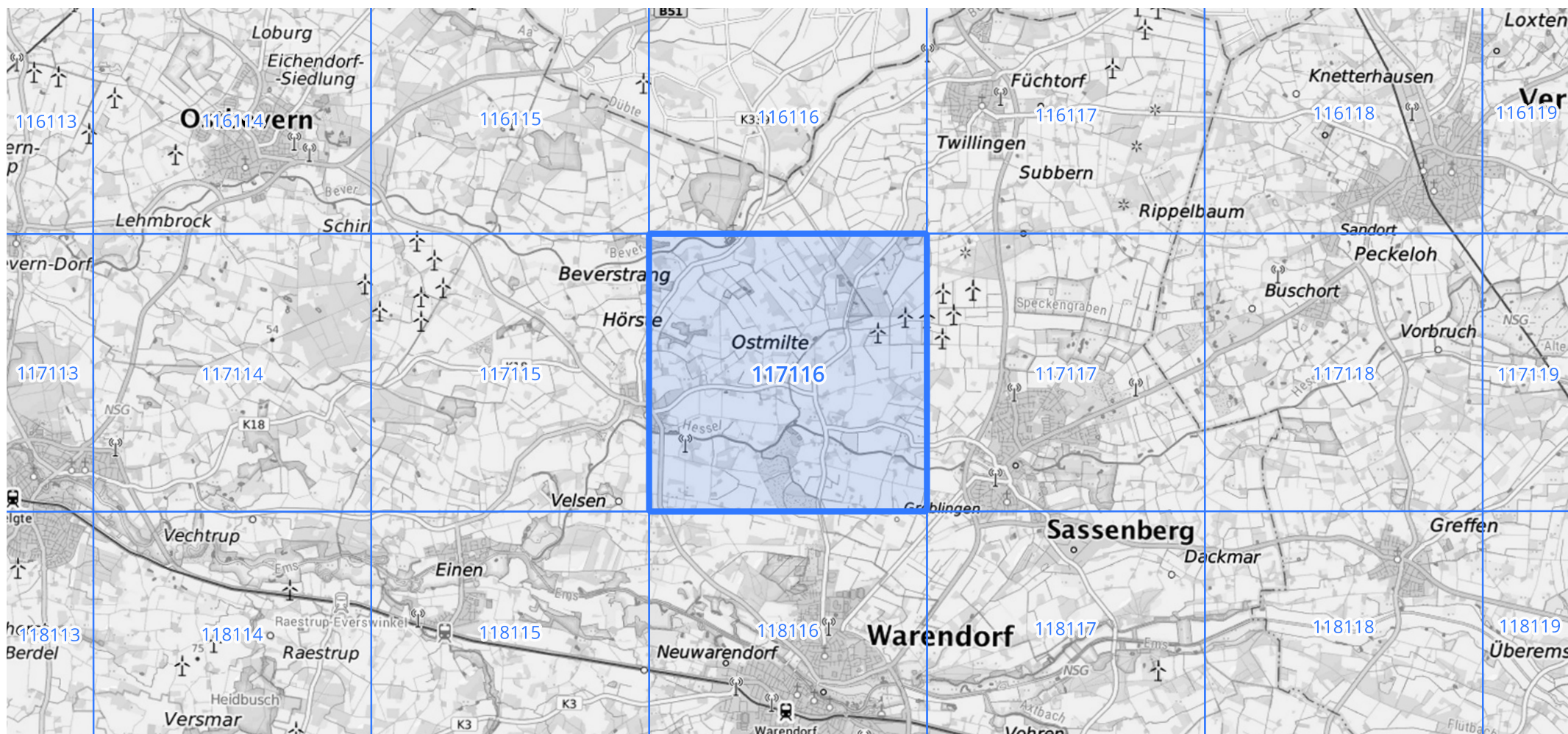
Siehe auch Anwendungshilfe zu KOSTRA-DWD-2020 des Deutschen Wetterdienstes.

## Starkniederschlagshöhen und -spenden gemäß KOSTRA-DWD-2020

## Rasterfeld 117116

(Zeile 117, Spalte 116)

## Übersichtskarte des Rasterfeldes 117116, M 1 : 100 000



Quelle Rasterdaten: KOSTRA-DWD-2020 des Deutschen Wetterdienstes, Stand 12/2022.

Seite 3 von 3

Kartendarstellung: © Bundesamt für Kartographie und Geodäsie (2023), Datenquellen: [https://sgx.geodatenzentrum.de/web\\_public/gdz/datenquellen/Datenquellen\\_TopPlusOpen.html](https://sgx.geodatenzentrum.de/web_public/gdz/datenquellen/Datenquellen_TopPlusOpen.html)

Für die Richtigkeit und Aktualität der Angaben wird keine Gewähr übernommen. Erstellt 01/2023.